

流域の地形形態とその応用に関する研究

京都大学工学部 正員 岩佐 義郎
 建設省 正員 桑橋 通雄
 京都大学大学院 学生員 ○吉田 八左右

(1)はじめに：従来よりの流域の地形則は、Strahlerの階級あるいはShreve のマグニチュードにしても、その階層的構造(hierarchy)に伴う流域区分による表示が主であった。これら、階層的区分による地形量の伸長に関しては、ほぼWoldenberg の対比成長モデルに要約できる。そして、これら地形則は、それそれの階層における平均量の伸長に関するものであり、その分布を考慮していない欠点を有する。節点高さ、パス河道長などの分布を知ることは、たとえば流域の地形形態と出水機構との関連において重要である。外部パス長、トポロジー的本川長などに関してはShreve²⁾の研究例がある。

本報では、河道リンク合流則³⁾より節点高さ、トポロジー的本川長の分布が求められることを示すとともに、これら分布を基本としてパスに伴う三次元地形量の分布を求める。

(2)節点高さの分布：トポロジー的ランダム性の仮定、仮定(1)を適用すれば河道リンク合流則は、

$$P_{ji} = (2 - \delta_{j,i}) z_j z_i / z_n \quad (z_n = 2^{n-2} C_{n-1} / n) \quad \dots (1)$$

で示される。³⁾ここに P_{ji} はマグニチュード j のリンクとマグニチュード $i-j$ のリンクが合流してマグニチュード i となる確率を表わす。今、ソース数 n の河道網において節点高さのリンク数の期待値 $n f_{ji}^{(m)}$ ($1 \leq i \leq n$)、ソース高さの外部リンク数の期待値 $n f_{ji}^{(s)}$ ($2 \leq i \leq n$) とすれば次の繰返し関係を得る。($i \geq 4$ とする)

$$i f_{ji}^{(m)} = \begin{cases} 1 & (i=1) \\ \sum_{k=1}^{i-1} P_{ji} \cdot j f_{ki}^{(m)} & (2 \leq i \leq n) \end{cases} \quad \dots (2) \quad i f_{ji}^{(s)} = \begin{cases} 0 & \\ \sum_{k=1}^{i-1} P_{ji} \cdot i f_{ki}^{(s)} & \end{cases} \quad \dots (3)$$

ただし、 $i f_{ji}^{(m)}$ および $i f_{ji}^{(s)}$ は $j < i-1$ のときは 0 とする。また、 $2j=i$ のときは河道網が対称となるため、(2)・(3)式の P_{ji} は(1)式から $\delta_{j,i}$ の項を省いたものである。ソース数 n が 1、2 および 3 の河道網に対しては、節点高さおよびソース高さの分布は 1 通りしかなく、これを初期値として(2)(3)式で順次計算すれば、一般的な節点高さおよびソース高さの分布を求めることができます。また、ソース数 n の河道網においてトポロジー的本川長が n である確率を $n f_{nn}^{(s)}$ とすれば、(1)式の P_{ji} を用いて次のくり返し関係を得る。($i \geq 4$ とする)

$$i f_{ji}^{(s)} = 0, \quad i f_{nn}^{(s)} = \sum_{j=1}^{n-1} P_{ji} \cdot i f_{ji}^{(s)} \quad \dots (4)$$

この場合も同様に、ソース数 $n = 1, 2$ および 3 の河道網のトポロジー的本川長の確率分布を初期条件として $i = n$ まで計算して求められる。(4)式からトポロジー的本川長(最大ソース高さ)の期待値を求めることができます。別の方法⁴⁾で求められていく最大ソース高さの期待値 \bar{n}_n はトポロジー的特性である分歧比 R_b の影響を考慮しており、後者の方がより実際的であると思われる。

図 1 にソース数 $n = 100$ および 200 の場合の節点高さおよびソース高さの理論的分布を、

図2に揖斐川の節点高さの理論値と実測値の比較を示す。

(3)バス河道長の分布：ランダムリンク長の仮定、仮定(4)を用いれば、ソース高さとおよび合流点高さの外部バス長 $L_n^{(e)}$ および内部バス長 $L_n^{(i)}$ は、

$$L_n^{(e)} = \bar{l}_c + (h-1)\bar{l}_i \quad \dots (5)$$

$$L_n^{(i)} = h \cdot \bar{l}_i \quad \dots (6)$$

で表わされる。 $L_n^{(e)}$ 、 $L_n^{(i)}$ の分布はそれをれソース高さおよび合流点高さの分布と一致する。図3に野州川の外部バス長の累積分布の実測値と理論値の比較を示す。

(4)バスに伴う三次元地形量の分布：バスに伴う三次元地形量については、節点高さとマグニチュードの関係を明らかにしなければならない。今、節点高さでマグニチュードらのリンクは、その定義より、 $(h-1)$ 回の合流をして最下流域のリンクに至る。したがって、この対象としているリンクが最初に合流するリンクのマグニチュードは $i_1 < i_2 \leq n-h+1$ でなければならない。この条件下において、マグニチュード i のリンクがマグニチュード i_2 のリンクに流入する確率は河道リンク配分則³⁾より、

$$[P_{i_1}^{(n)}]_{i_2} = 2m_{i_2}^{(n)} Z_{i_2-i_1} / \{m_{i_1}^{(n)} - \sum_{i=i_1+1}^n [m_{i_1}^{(n)}]_{i_2} Z_{i_2}\} \quad \dots (7)$$

で表わされる。ここに記号 $[m_i^{(n)}]_{i_2}$ は、先に述べた制約条件を示す。ソース数の河道網において、節点高さでマグニチュード i_1 、 i_2 、 i_3 、 \dots 、 i_{n-2} 、 n である確率を $P^{(n)}(i_1, i_2, \dots, i_{n-1}, n)$ で表わすと、

$$P^{(n)}(i_1, i_2, \dots, i_{n-1}, n) = [P_{i_1}^{(n)}]_{i_2} \cdot [P_{i_2}^{(n)}]_{i_3} \cdot \dots \cdot [P_{i_{n-2}}^{(n)}]_{i_n} \quad \dots (8)$$

となる。これに、マグニチュードの関数として表わされている三次元地形量の地形則を適用すれば、バス勾配、バス高低差などが求められ、その分布についても求めることができると、詳細は講演時に発表する予定である。

(5)結語：以上によつて、バスに伴う諸量の分布が明らかになつた。けれども、より厳密に地勢量の全体的な分布を知るためにには、内部リンク長および外部リンク長の分布を明らかにする必要がある。また、流域の地形形態に関する研究の場合に常に問題となることは、その応用的意味であり、たとえば、本報のバスに伴う諸量の分布は出水機構との関連において重要である。このような地形形態の応用に関しては河道の分類法が問題となり、よりよい河道分類法は応用する事項によつて異なるところであつたが、今後、河川流域の地形特性を明確かつ一般的に定量評価できる表示方法を検討していくなければならない。

参考文献 (1)吉近、小林、棚橋：流域の地形形態に関する定量的研究、京都大学防災年報 19B-2、1976

(2)たとえば、Shreve, R. L.: Variation of Mainstream Length Basin Area, W. R. R. 1974

(3)岩近、小林、棚橋：河道ネットワークに関する基礎的研究、土木学会年次講演会、NSD.

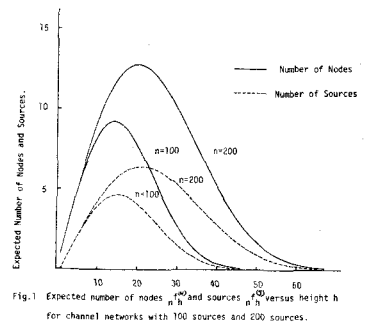


Fig.1 Expected number of nodes, $n^{(e)}_h$ and sources, $n^{(i)}_h$ versus height h for channel networks with 100 sources and 200 sources.

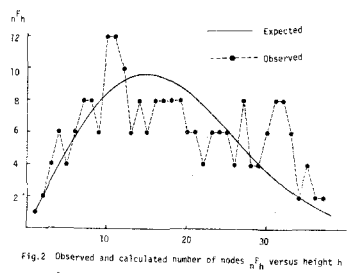


Fig.2 Observed and calculated number of nodes, $n^{(e)}_h$ versus height h for Ibi River.

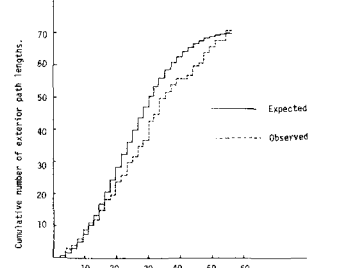


Fig.3 Histogram of cumulative frequency distribution of exterior path lengths for Yasu River. (n=71)